

## ГЕТЕРОПЕРЕХОД $n$ -GaAs—ZnS В МДП ПРИБОРАХ

### I. ЭЛЕКТРОФИЗИЧЕСКИЕ СВОЙСТВА ГЕТЕРОПЕРЕХОДА

Ильичев Э. А., Олейник С. П., Матына Л. И.,  
Варламов И. В., Лишиц Т. Л., Инкин В. Н.

Исследованы электрофизические свойства гетероперехода  $n$ -GaAs—ZnS: установлен механизм транспорта электронов в стационарном режиме, определены энергетический спектр и параметры ловушек в изолирующей пленке сульфида цинка, изучены модуляционные свойства гетероконтакта. Установлено, что ток в структуре (прямое включение) в интервале температур 100–500 К и диапазоне полей  $10^3$ – $10^6$  В/см ограничивается объемом пленки ZnS, носит активационный характер, а при напряженности поля в пленке  $\sim 10^6$  В/см процесс переноса отличается сменой омической полевой зависимости зависимостью Френкеля—Пула. Спектр ловушек в пленке ZnS характеризуется наличием локализованных состояний в интервалах энергий  $0.23 \pm 0.25$ ,  $0.56 \pm 0.58$ ,  $0.80 \pm 0.82$  эВ. Изменение емкости МДП структуры ограничено перезарядкой уровней  $\sim 0.23$  и  $\sim 0.80$  эВ и характеризуется значением эффективной плотности поверхностных состояний  $\sim (3 \div 5) \cdot 10^{11}$  эВ $^{-1} \cdot$ см $^{-2}$ .

Сегодня уже очевидно, что прогресс в полупроводниковой электронике неразрывно связан с решением проблемы управления свойствами межфазных границ. Несмотря на значительные успехи в освоении арсенида галлия и твердых растворов на его основе, работы, связанные с получением МДП приборов на GaAs, до сих пор не вышли за рамки лабораторных исследований. Причина этого — отсутствие подходящего диэлектрика и трудности формирования гетерограницы диэлектрик—полупроводник с низкой плотностью поверхностных состояний ( $N_{ss}$ ), обеспечивающей приемлемые эксплуатационные характеристики [1]. В результате безуспешности предпринятых попыток сложилось мнение, что элементная база интегральных схем на GaAs может быть сформирована лишь на основе полевых транзисторов с затвором Шоттки [2]. Однако в последнее время безусловность этого суждения была поставлена под сомнение ввиду успехов, достигнутых в использовании «чистых» и изолирующих гетерослоев GaAlAs в качестве подзатворовых диэлектриков МДП приборов [3, 4]. Препятствием для широкого внедрения полученных результатов являются технологические трудности, связанные с необходимостью получения гетерослоев строго контролируемого фазового состава и определенной структурной организации. Поэтому развитие альтернативных методов получения изолирующих слоев на GaAs, пригодных для разработки МДП элементной базы, сегодня представляется необходимым. В настоящей работе исследуются электрофизические свойства гетероконтакта  $n$ -GaAs—ZnS, который до сих пор, по нашим сведениям, систематически не изучался.

### Образцы

Для формирования МДП ячеек использовались эпитаксиальные структуры арсенида галлия с толщиной активного слоя  $2 \div 3$  мкм и концентрацией донорной примеси  $\sim 5 \cdot 10^{15}$  см $^{-3}$ . Пленки сульфида цинка получали разложением хелатных комплексов при осаждении из паровой фазы в интервале температур подложки 290–350 °C [5]. Толщина пленок изменялась в диапазоне 0.05–0.2 мкм. Площадь алюминиевого полевого электрода составляла  $5 \cdot 10^{-3}$  см $^2$ .

В комплекс электрофизических исследований входили исследования:

- стационарного электронного транспорта в МДП структурах;
- спектра ловушек в изолирующих структурно неупорядоченных пленках сульфида цинка;
- модуляционных свойств гетероконтакта  $n\text{-GaAs-ZnS}$ .

### Результаты эксперимента

Исследование стационарного «поперечного» транспорта электронов в гетероструктуре  $n\text{-GaAs-ZnS}$  показало, что при прямом («минус» на подложке) смещении в диапазоне полей  $10^3 \div 10^6$  В/см и интервале температур  $100 \div 500$  К указанный процесс носит активационный характер и контролируется объемом изолирующей пленки сульфида цинка. Температурные зависимости проводимости МДП структур в координатах  $\ln i \sim f(1/kT)$  имеют два участка с характерными значениями энергии активации, зависящими от условий получения изолирующей пленки и напряженности поля в ней (рис. 1). В области слабых

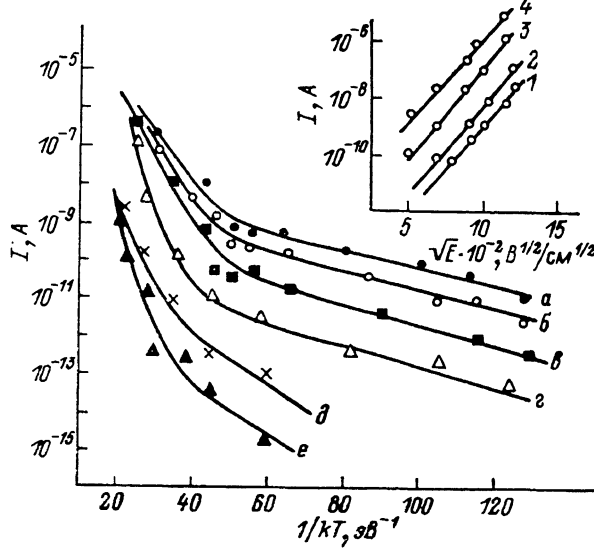


Рис. 1. Температурные и полевые зависимости проводимости МДП структур.

Для структуры I типа  $E$ , В/см:  $a - 1 \cdot 10^6$ ,  $b - 6 \cdot 10^4$ ,  $c - 4 \cdot 10^5$ ,  $d - 3 \cdot 10^5$ ; для структуры II типа  $E$ , В/см:  $e - 3 \cdot 10^3$ ,  $g - 3 \cdot 10^4$ . Т, К:  $1 - 145$ ,  $2 - 230$ ,  $3 - 300$ ,  $4 - 373$ .

полей (участок омической полевой зависимости) в интервале температур  $100 \div 300$  К проводимость всех исследованных структур характеризуется значением энергии активации ( $E_a^{ox}$ ), равным  $0.20 \div 0.25$  эВ. При измерениях в температурном диапазоне  $330 \div 500$  К величины энергий активации, характеризующие проводимость, существенно определяются температурами получения пленки. Так, для пленок сульфида цинка, осажденных в диапазоне температур подложки  $290 \div 320$  °C (структурь I типа), значение  $E_a^{ox}$  составляет  $0.58 \div 0.62$  эВ, а для ZnS, сформированного при  $330 \div 350$  °C (структурь II типа), соответствующая величина имеет значение  $0.80 \div 0.90$  эВ.

На стационарных ВАХ МДП структур при напряженности поля в пленке  $\sim (4 \div 5) \cdot 10^4$  В/см (для структур I типа) либо  $\sim (1 \div 2) \cdot 10^5$  В/см (для структур II типа) омическая полевая зависимость сменяется сверхлинейным ростом тока. На участке сверхлинейного роста тока (рис. 1) во всем исследованном интервале температур  $100 \div 500$  К полевая зависимость наилучшим образом отвечает модели транспорта носителей по механизму Френкеля—Пула [6]:

$$i \sim \exp(-E/kT) \exp(\beta \sqrt{E}/kT),$$

где  $E$  — напряженность электрического поля. При этом для постоянной Пула—Френкеля получаются значения  $\sim (2.5 \div 3.5) \cdot 10^{-4}$  эВ·см $^{1/2}$ /В $^{1/2}$ , хорошо соответ-

ствующие теоретическим оценкам:  $\beta = (e^3 / \pi \epsilon \epsilon_0)^{1/2}$ . Совместное использование результатов температурных и полевых измерений позволяет в рамках данной модели оценить глубину залегания ( $E_t$ ) глубокого центра, через который идет эмиссия электронов:  $E_t = E_a + \beta \sqrt{E}$ , где  $E_a$  — энергия активации проводимости в области сильного поля. В интервале температур 330–500 К транспорт определяется эмиссией с центров, расположенных ниже дна зоны проводимости ZnS на глубине 0.56–0.58 эВ (для структур I типа) либо 0.80–0.82 эВ (для структур II типа). В области температур 100–330 К эмиссия Френкеля—Пула определяется уровнем 0.22–0.24 эВ.

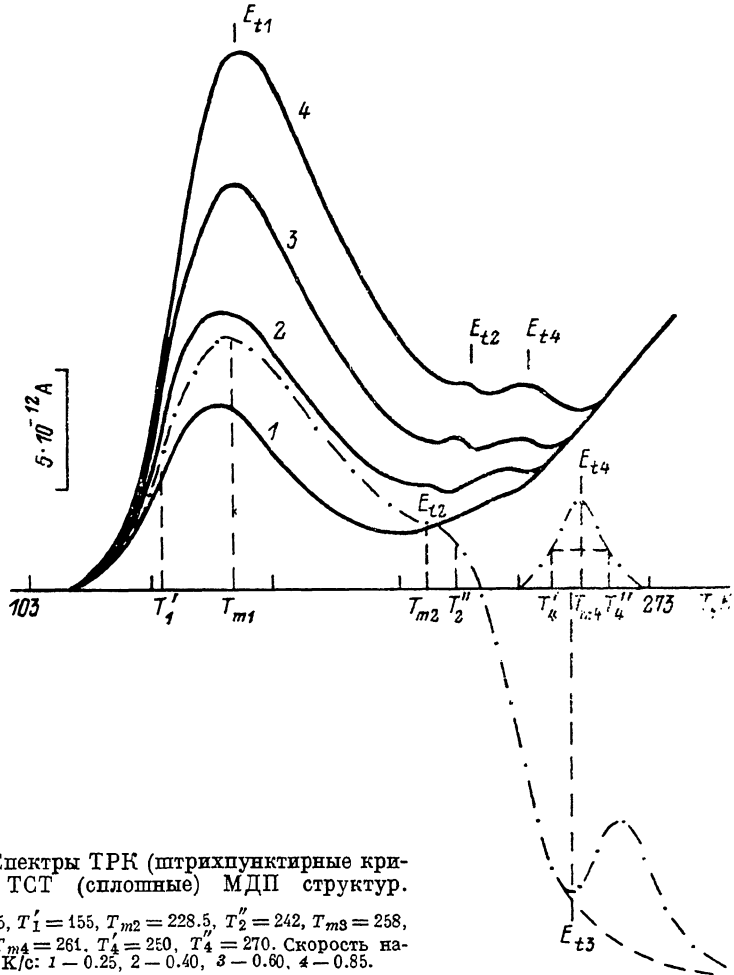


Рис. 2. Спектры ТРК (штрихпунктирные кривые) и ТСТ (сплошные) МДП структур.

$T_{m1} = 175.5$ ,  $T'_1 = 155$ ,  $T_{m2} = 228.5$ ,  $T''_2 = 242$ ,  $T_{m3} = 258$ ,  
 $T'_3 = 245$ ,  $T_{m4} = 261$ ,  $T'_4 = 250$ ,  $T''_4 = 270$ . Скорость нагрева, К/с: 1 – 0.25, 2 – 0.40, 3 – 0.60, 4 – 0.85.

Удельное электрическое сопротивление пленок сульфида цинка, определенное на участке ВАХ с омической полевой зависимостью, при  $T=300$  К находится в интервале  $5 \cdot 10^{11} \div 5 \cdot 10^{13}$  Ом·см, а электрическая прочность составляет  $(1 \div 2) \cdot 10^6$  В/см.

Для «прямого» исследования спектра ловушек были использованы методы термического разряда конденсатора (ТРК) [7] и термостимулированного тока (ТСТ) [8]. Спектры ТРК и ТСТ приведены на рис. 2, а результаты их обработки — в таблице. Характер спектров и аналитические оценки показывают, что разряд ловушек протекает в условиях сильного перезахвата. При этом пики  $E_{t1}$ ,  $E_{t2}$  и  $E_{t4}$  обусловлены разрядкой электронных ловушек с преобладающим уходом электронов в полупроводник.

«Отрицательная» полоса ТРК и пик  $E_{t3}$  обусловлены дрейфом термоактивированных электронов в металле. Появление пика  $E_{t4}$  в спектрах ТРК было эпизодическим и оно характерно только для структур I типа и лишь при отсутствии

«отрицательной» полосы. Кроме того, регистрация пика  $E_{t4}$ , а также  $E_{t3}$  и указанной полосы зачастую сопровождалась повышенным уровнем токовой неустойчивости, а соответствующие им состояния равновесно заполнялись носителями при охлаждении образцов.

Для оценки места локализации центров  $E_{t1}$  и  $E_{t2}$  по толщине изолирующей пленки было проведено зондирование структуры одиночными импульсами напряжения зарядки переменной длительности. При этом анализировалось

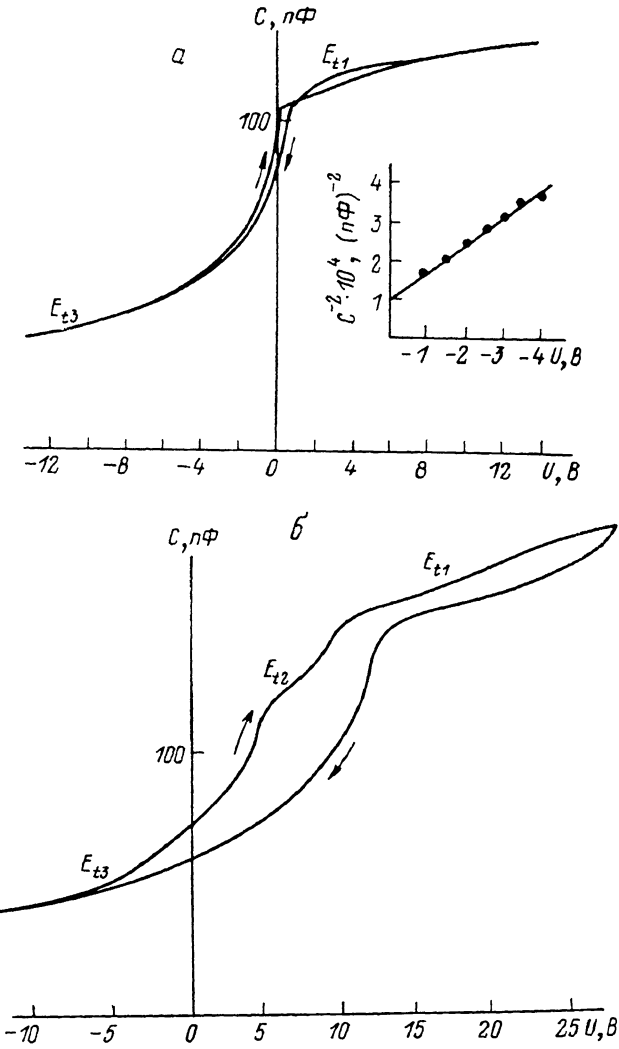


Рис. 3. Равновесные ВФХ МДП структур I (а) и II (б) типа при  $T=300$  К.

Частота тестового сигнала 1 МГц; толщина изолирующей пленки, см: а —  $\sim 1.9 \cdot 10^{-5}$ , б —  $\sim 7 \cdot 10^{-6}$ .

изменение амплитуды пиков ТРК с уменьшением длительности импульсов зарядки вплоть до значений, меньших времени пролета ( $\tau_{\text{пр}}$ ) пакета носителей через пленки известной толщины ( $L$ ):  $\tau_{\text{пр}} \approx L^2 / \mu U_s$ , где  $\mu$  — подвижность носителей;  $U_s$  — амплитуда импульса зарядки. Из результатов следует, что центры  $E_{t1}$  и  $E_{t2}$  примерно однородно распределены по толщине изолирующей пленки.

Равновесные ВФХ МДП структур при  $T=300$  К приведены на рис. 3. С- $V$ -кривые обеих структур смешены в область положительных напряжений, что свидетельствует о наличии отрицательного встроенного заряда. Перегибы на восходящем участке ВФХ (рис. 3, б) типичны для перезарядки глубоких центров в изолирующих слоях МДП структур. С- $V$ -кривая структур I типа

### Параметры ловушек

Уро-вень	ТРК			ТСТ $E_t$ , эВ	ВФХ		ВАХ $E_t$ , эВ
	$E_t$ , эВ	$S_t$ , см $^2$	$N_t$ , см $^{-3}$		$E_t$ , эВ	$S_t$ , см $^2$	
$E_{t1}$	0.23—0.25	$(6 \div 8) \cdot 10^{-21}$	$(3 \div 5) \cdot 10^{18}$	0.20—0.27	~0.23	$\sim 10^{-23}$	0.22—0.24
$E_{t2}$	0.56—0.58	$(2 \div 5) \cdot 10^{-16}$	$(5 \div 7) \cdot 10^{17}$	0.55—0.57	—	—	0.56—0.58
$E_{t3}$	0.80—0.82	$\sim 2 \cdot 10^{-17}$	—	—	—	—	0.80—0.82
$E_{t4}$	1.15—1.17	—	$\sim 5 \cdot 10^{17}$	~1.17	—	—	—

(рис. 3, а) в области обеднения спрямляется в координатах  $C^{-2} \sim f(U)$ , что характерно для резких изотипных гетеропереходов в случае линейной зависимости поверхностного потенциала ( $\phi_s$ ) от напряжения на структуре [9].

Вид равновесных ВФХ, а также простые оценки ( $C_{\max}$ ;  $C_{\min}$ ) указывают на то, что отсутствует инверсия проводимости приповерхностной области полупроводника, а наличие  $C_{\min}$  связано с фиксацией уровня Ферми на глубоком

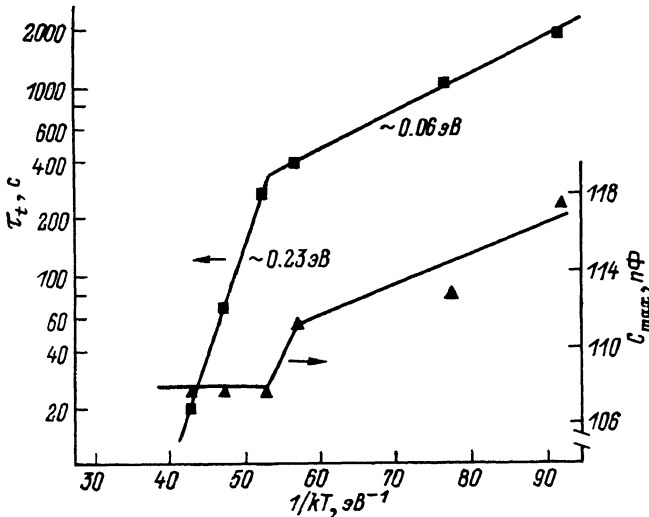


Рис. 4. Температурные изменения максимальной емкости МДП структуры (I тип) и времени жизни неравновесных носителей на ловушках.

ловушечном центре; при обогащающем напряжении отсутствует аккумуляция электронов; наблюдается обмен носителями между полупроводником и диэлектриком.

Последнее обстоятельство было использовано для изучения длинновременной релаксации неравновесной емкости структуры в диапазоне температур 100—400 К в условиях предварительной стационарной зарядки. Зарядка термостабилизированной структуры осуществлялась увеличением напряжения смещения инжектирующей («минус» — на GaAs) полярности до некоторого фиксированного значения. Полагая, что релаксация емкости структуры определяется термо-генерацией неравновесного заряда ( $Q_0$ ) с ловушек изолирующего слоя и происходит согласно выражению  $\dot{Q}_i \approx Q_0 \exp(-\Delta t_i/\tau_i)$ , находим значение времени жизни ( $\tau_i$ ), а затем, используя выражение  $\tau_i = [S_t N_c V_T \exp(-E_t/kT)]^{-1}$ , определяем энергетическое положение центра ( $E_t$ ) и сечение захвата электрона ( $S_t$ ) ( $\Delta t_i$  — временной интервал между «записью» и «опросом» ячейки,  $N_c$  — плотность состояний в зоне проводимости изолирующего слоя,  $V_T$  — тепловая скорость электронов).

Измерения показали (рис. 4), что в интервале температур 200—300 К релаксация емкости МДП структур происходит с характерными временами (10—300 с) и обусловлена изменением населенности уровня  $\sim 0.23$  эВ с сечением захвата электронов  $\sim 10^{-23}$  см $^2$  (см. таблицу).

Совпадение результатов ряда независимых измерений (см. таблицу) дает основание утверждать, что в запрещенной зоне изолирующей пленки сульфида цинка существуют локализованные состояния в интервалах энергий  $0.23 \pm 0.25$ ,  $0.56 \pm 0.58$  и  $0.80 \pm 0.82$  эВ, которые однородно распределены по объему пленки и выступают в роли ловушек электронов. Положение центра  $E_{f1}$  коррелирует с данными для однозарядной вакансии серы  $V_S$  [10]. Особенности поведения центра  $E_{f1}$  дают основания полагать, что он локализован в низкотемпературном оксиде мышьяка, расположенным на межфазной границе. Повышение температуры формирования пленок ZnS (структуры II типа) сопровождается сублимацией оксидов мышьяка, что приводит к уменьшению концентрации центров  $E_{f1}$  и исчезновению соответствующего пика в спектрах ТРК. Присутствие пика  $E_{f1}$  в спектрах ТСТ обусловлено протеканием разряда ловушек в условиях обратного смещения на структуре, что уменьшает заселенность уровня  $\sim 1.17$  эВ и благоприятствует его проявлению.

Структуры I и II типа различаются степенью компенсации донорных центров и соответственно равновесным расположением уровня Ферми в запрещенной зоне ZnS: I —  $0.58 \pm 0.62$ , II —  $0.80 \pm 0.90$  эВ. Это предполагает выполнение условий:  $N_{f2} > N_a + N_{f3} - N_{f1}$  для структур I типа и  $N_{f3} > N_a - N_{f1} - N_{f2}$  для структур II типа, где  $N_a$  — состояния в нижней части запрещенной зоны ZnS. Кроме того,  $N_{f2}$  (II)  $> N_{f2}$  (I) (рис. 3). Следовательно, при  $N_{f1}$  (I)  $\approx N_{f1}$  (II) и  $N_{f3}$  (I)  $\approx N_{f3}$  (II) должно выполняться условие  $N_a$  (I)  $< N_a$  (II), которое и определяет степень компенсации центров.

Особенности энергетического и концентрационного спектров ловушек изолирующей пленки определяют характер ВФХ и их различия для структур I и II типа. Согласно простым оценкам,  $C_{\max} = 114$  пФ (рис. 3, a), что меньше геометрической емкости изолирующей пленки  $C_s = 163$  пФ ( $d_{ZnS} = 1.9 \cdot 10^{-5}$  см,  $\epsilon_{ZnS} = 7$  определено по значению  $\beta$ ). Это свидетельствует о том, что поверхностный потенциал остается отрицательным при напряжении смещения обогащающей полярности. При этом значение  $\varphi$ , составляет величину  $\sim 0.10$  эВ; это соответствует емкости ОПЗ полупроводника  $\sim 340$  пФ и полной емкости структуры  $C = 110$  пФ, что близко по значению к  $C_{\max}$ . Уровень Ферми на гетерогранице располагается относительно дна зоны проводимости ZnS на расстоянии  $\sim 0.37$  эВ (разрыв зон  $\Delta E_c = 0.17$  эВ [8], положение уровня Ферми в кванзинейтральной области GaAs  $\sim 0.10$  эВ) и, таким образом, попадает в «хвост» состояний полосы с центроидом вблизи  $\sim 0.23$  эВ. Следовательно, отсутствие аккумуляции электронов в приграничной области со стороны GaAs обусловлено перезарядкой центров  $E_{f1} \approx 0.23$  эВ. Это подтверждается температурными измерениями релаксации емкости структуры (рис. 4).

Аналогичные оценки показывают, что наличие  $C_{\min}$  связано с фиксацией уровня Ферми на границе вблизи состояний с  $E_{f3} \sim 0.80$  эВ, а немонотонность  $C-V$ -кривой (рис. 3, б), характерная для дискретных ловушечных состояний, обусловлена перезарядкой центров  $E_{f2}$ . Оценка по ВФХ величины заряда соответствует концентрации  $N_{f2}$  порядка  $(6 \div 7) \cdot 10^{16}$  см $^{-3}$ , что совпадает с данными измерений ТРК (см. таблицу). Отсутствие соответствующего перегиба на ВФХ структур I типа (рис. 3, a) связано с меньшей концентрацией центров  $E_{f2}$ .

Таким образом, характер модуляции емкости МДП структуры и ее температурная зависимость определяются ловушками, расположенными в объеме изолирующей пленки сульфида цинка, и характеризуются перемещением уровня Ферми на гетерогранице в энергетической щели между уровнями  $E_{f1}$  и  $E_{f3}$ , что соответствует изменению поверхностного потенциала на величину  $\sim 0.5$  эВ. Эффективное значение  $N_{f2}$ , полученное приведением объемной концентрации центров  $E_{f2}$  к единице поверхности гетероконтакта, составляет (оценка «снизу»)  $\sim (3 \div 5) \cdot 10^{11}$  см $^{-2} \cdot$ эВ $^{-1}$ . Указанное значение плотности поверхностных состояний позволяет надеяться на возможность создания МДП приборов на основе гетероконтакта  $n$ -GaAs—ZnS.

Авторы благодарны Э. А. Полторацкому за обсуждение и полезные замечания.

## Список литературы

- [1] Gatos H. C., Lagovski J., Kazior T. E. // Japan. J. Appl. Phys. 1983. V. 22 (Suppl. 22-1). P. 11—19.
- [2] Арсенид галлия в микроэлектронике / Под ред. Н. Айнспрука, У. Уиссмена. М., 1988. 557 с.
- [3] Wolny M., Aguila T., Diconinck P., Moroni D., Andre J. P. // Electron. Lett. 1987. V. 23. N 21. P. 1127—1128.
- [4] Ильинчев Э. А., Польторацкий Э. А. // ФТП. 1986. Т. 20. В. 10. С. 1782—1786.
- [5] Zharovsky L. F., Zavyalova L. V., Svechanikov G. S. // Thin Sol. Films. 1985. V. 128. N 3-4. P. 241—249.
- [6] Frenkel J. // Phys. Rev. 1938. V. 54. P. 657—659.
- [7] Ждан А. Г., Сандомирский В. Б., Ожередов А. Д. // ФТП. 1968. Т. 2. В. 1. С. 11—18.
- [8] Бьюб Р. Фотопроводимость твердых тел. М., 1962. 584 с.
- [9] Шарма Б. Л., Пурохит Р. К. Полупроводниковые гетеропереходы. М., 1979. 228 с.
- [10] Илюхина З. П., Панасюк Е. И., Туницкая В. Ф., Филина Т. Ф. // Тр. ФИ АН СССР. 1972. Т. 59. С. 38—63.

Научно-исследовательский институт  
физических проблем  
им. Ф. В. Лукина  
Москва

Получена 25.07.1989  
Принята к печати 14.12.1989